Ⅲ DIE MATERIALFUNKTIONEN

$$\begin{cases}
9 = g(P,T,X_i) \\
& \approx e & (P,T,X_i)
\end{cases}$$

$$\epsilon = \epsilon(P,T,X_i)$$

können im Prinzip als gegebene Funktionen betrachtet werden. Jedoch: Diskussion dieser Funktionen ist unerlässlich für das Verständnis gewisser Stemtypen.

Die Zustandsgleichung

Def.: Zustandsgleichung = Relation der Form
$$f(P,T,g,x_i)=0$$

13.1 Partialdrucke

Gesamtdruck
$$P = \sum_{k} P_{k}$$
, $P_{k} = Portioldruck$, z.B. $P_{I} : Ionendruck$

Pe : Elektronendruck

$$P = P_I + P_e + P_r = P_G + P_r$$
= Gasdruck P_G

Pr : Strahlungsdruck

(LTE im Sterninneren, Abweichungen ≈ 10-10) a) Der Strahlungsdruck

$$P_r = \frac{1}{3} a T^4 = \frac{1}{3} u_r$$

b) Der Druck eines idealen Gases

$$P_{G} = \frac{Q}{\mu} S^{T}$$

 $P_{\alpha} = \frac{Q_{\alpha}}{\mu} S^{T}$! μ : abhängig von der chemischen Zusammensetzung und der Zahl der freien Elektronen, d.h. vom Ionisationszustand

13.2 Ionisation

Bei TE und LTE: Ionisationsgleichgewicht - Saha-Gleichung

$$\frac{n_{r+1}}{n_r} n_e = \frac{u_{r+1}}{u_r} 2 \frac{(2\pi m_e kT)^{3/2}}{h^3} e^{-\frac{\chi_r}{kT}}$$

Wobei

oder
$$\frac{n_{r+1}}{n_r} n_e = \frac{2\ell_{r+1}+1}{2\ell_r+1} \frac{2}{h^3} \frac{(2\pi m_e kT)^{3/2}}{h^3} e^{-\frac{\chi_r}{kT}}$$

n_{r+1} = Zahl der r+1-fach ionisierten Atome pro Volumeneinheit

 $n_r = n + r - fach$

ne = Elektronendichte = Zahl der Elektronen "

Urm = 2 lr+1 + 1 = statistisches Gewicht des Zustands r+1

 $\chi_r = Ionisationspotential des r-fach ionisierten Zustands$

a) Ionisation des Wasserstoffs in der Sonne

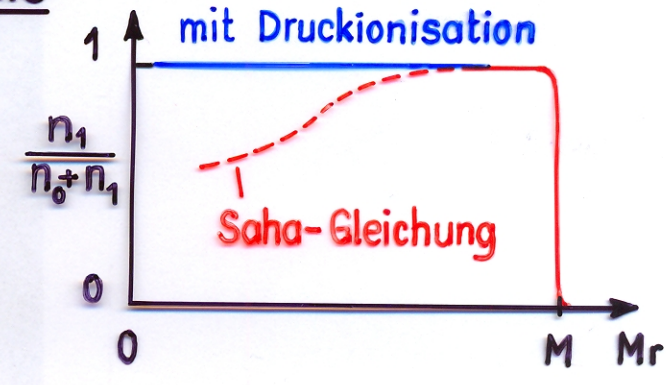
Wasserstoff: $\chi_0 = 13.54 \text{ eV}$

Sonne: Oberfläche: T≈ 6000 K

→ n₁/(n₀+n₄) ≪ 1

erwarten n₁/(n₀+n₁)≈1 für

T≥ 10.000 K

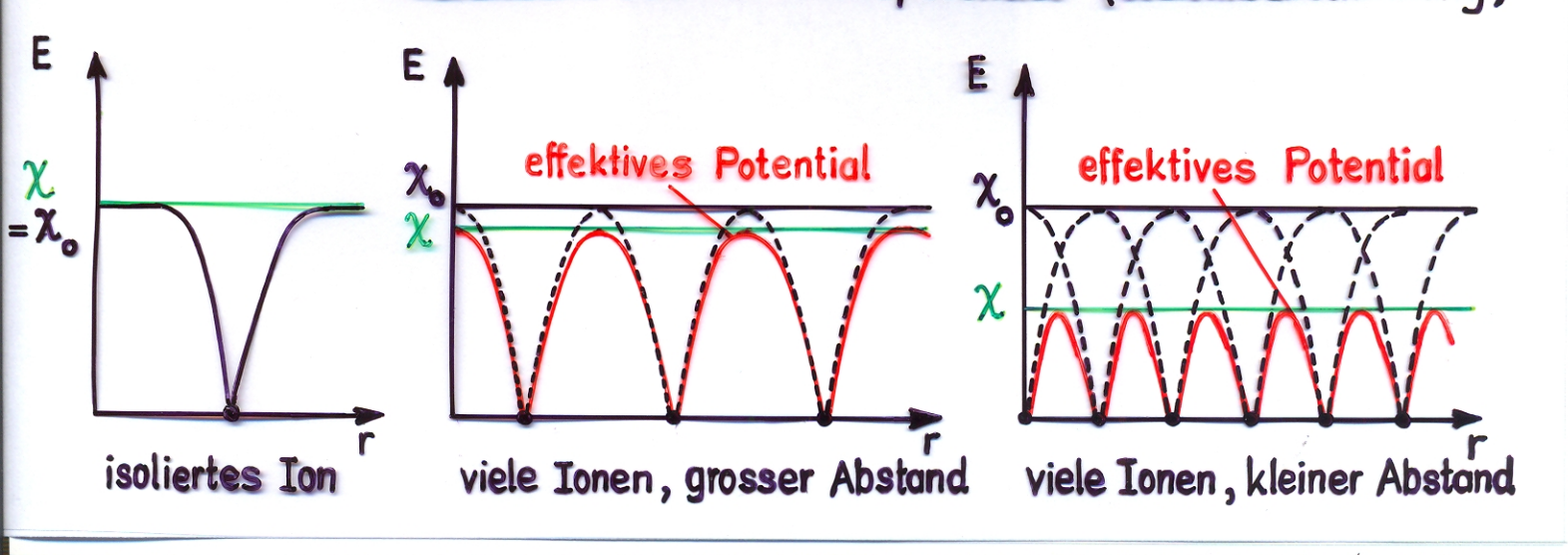


Inneres: $T \ge 10^7 \text{ K}$, $kT \approx 1 \text{ keV} \implies \text{erwarten } n_1/(n_0+n_1) = 1$ aber: mit Saha-Gleichung: $n_1/(n_0+n_1) \approx 1/2$!!

Grund für das Versagen der Saha-Gleichung: 1) grosses Ne 2) Druckionisation

b) Druckionisation

Im Sterninneren: 9 sehr gross (9c,0≈10²gcm⁻³) → geringe Atomabstände verändern das Ionisationspotential (Coulombabschirmung)



mit Berücksichtigung der Druckionisation : vollständige Ionisation im Sterninneren (für H und He) - praktisch alle im Sterninneren vorkommenden Atome sind vollständig ionisiert

13.3 Das mittlere Molekulargewicht für vollständig ionisierte Gase

Def: mittl. Moleklargewicht für eine best. Teilchensorte = Zahl der Nukleonen pro freies Teilchen der betr. Sorte

Pro Masseneinheit: Xi Masseneinheiten der Teilchensorte i (mit Massenzahl Ai und der Ordnungszahl Zi)

Zahl der Kerne i pro Masseneinheit $n_{k,i} = \frac{x_i}{A_i m_p}$, $m_p = Protonenmasse$

Zahl der Elektronen vom Element i pro Masseneinheit $n_{e,i} = \frac{X_i Z_i}{A_i m_e}$

Zohl der Teilchen pro Masseneinheit $n_{\text{tot}} = \sum_{i} (n_{k,i} + n_{e,i}) = \sum_{i} (1 + Z_i) \frac{X_i}{A_i m_p}$

Zahl der Nukleonen pro Masseneiheit $n_{\text{nucl.}} = \frac{1}{m_{\text{pos}}}$

a) Molekulargewicht pro freies Teilchen μ : $\mu = \frac{n_{\text{nucl}}}{n_{\text{tot}}} = \frac{1}{\sum_{i} (1+Z_i) \frac{X_i}{A_i}}$ Sei $X_H = X$, $X_{He} = Y$, $1-X-Y=Z=X_{Rest}$

Wasserstoff: Z = 1, A = 1Helium: Z = 2, A = 4Rest: $\langle \frac{Z+1}{A} \rangle \approx 1/2$ $\mu \approx \frac{1}{2X + \frac{3}{4}Y + \frac{1}{2}Z} \approx \frac{2}{1 + 3X + Y/2}$

b) Molekulargewicht pro freies Elektron μ_e : $\mu_e = \frac{n_{\text{nucl}}}{n_e} = \frac{1}{\sum \frac{Z_i X_i}{A_i}}$

In X, Y und Z ausgedrückt:

 $\mu e \approx \frac{1}{X+Y/2+Z/2} = \frac{2}{1+X}$, wobei $\langle \frac{Z}{A} \rangle = \frac{1}{2}$ angenommen

c) Mittl. Molekulargewicht pro freies Ion
$$\mu_o$$
: $\mu_o = \frac{n_{\text{nucl}}}{n_{\text{K}}} = \frac{1}{\sum_{i} \frac{X_i}{A_i}}$

d) Zusammenhang zwischen den Verschiedenen Molekulargewichten

Nach Def:
$$\mu^{-1} = \mu_e^{-1} + \mu_o^{-1}$$

13.4 Zustandsgleichung des idealen Gases mit Strahlung

$$P_{G} = \frac{Q}{\mu_{o}} S^{T} + \frac{Q}{\mu_{e}} S^{T} = \frac{Q}{\mu} S^{T} : \text{ tot. Gasdruck}$$

Po: Ionendruck

Pe: Elektronendruck

$$P_{\text{tot}} = P_{\text{G}} + P_{\text{r}} = \frac{Q}{\mu} g + \frac{q}{3} T^{4}$$

14. Die Entartung des Elektronengases

Elektronen: Fermionen, Spin 1/2 - Wegen <u>Pauli-Verbot</u>: Elektronengas bei geg. Temperatur kann nicht zu beliebig hohen Dichten wie ideales Gas behandelt werden.

Für 9 > 9 (T) grosse Abweichungen vom idealen Gas → Entartung

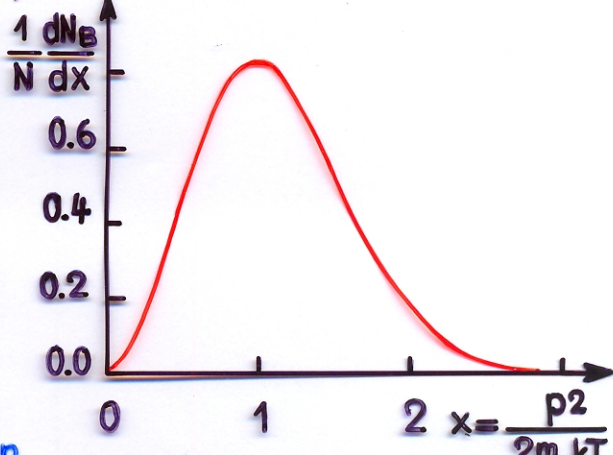
14.1 Vergleich zwischen der Boltzmann- und der Fermi-Verteilung

Gegeben: N Elektronen in Volumen V \rightarrow Ne = $\frac{N}{V}$

Bei hinreichend kleinem ne : ideales Gas , Impulsverteilung der Elektr.

Maxwell-Boltzmann-Verteilung

$$dN_{B}(p,...,p+dp) = N \frac{4\pi p^{2}}{(2\pi m_{e}kT)^{3/2}} e^{-\frac{p^{2}}{2m_{e}kT}} dp$$



► Gültigkeit der Maxwell-Boltzmann-Verteilung durch Pauli-Verbot eingeschränkt!

<u>Pauli-Verbot</u>: keine zwei identische Teilchen in Phasenraumvolumen h³

- für Elektronen: höchstens 2 Elektronen mit entgegengesetztem Spin in Phasenraumvolumen h³
- maximale Zahl der Elektronen in Volumen V und Impulsintervall p,...,p+dp

$$\frac{dN \leqslant dN_{max} = \frac{2}{h} \frac{4\pi p^2 dp}{h^3} \vee = \frac{8\pi p^2}{h^3} \vee dp}{\frac{2 \text{ Elektr.}}{pro \text{ Zelle}} \frac{2 \text{ ahl}}{der \text{ Zellen}}$$

 $\frac{dN_{max}}{dp} \sim p^2$, wie bei der Boltzmann-Verteilung. Für kleine p, d.h. $p^2 \ll 2m_e kT$ muss daher gelten:

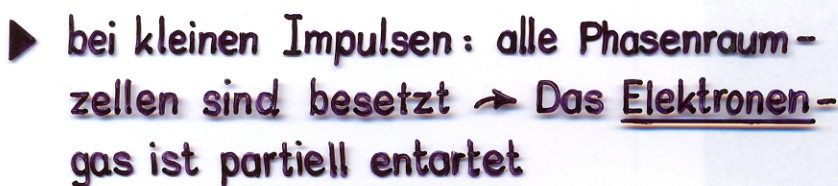
$$\frac{dN_B}{dp} = N \frac{4\pi p^2}{(2\pi m_e kT)^{3/2}} \leq \frac{dN_{max}}{dp} = V \frac{8\pi p^2}{h^3} , p^2 \ll 2m_e kT$$

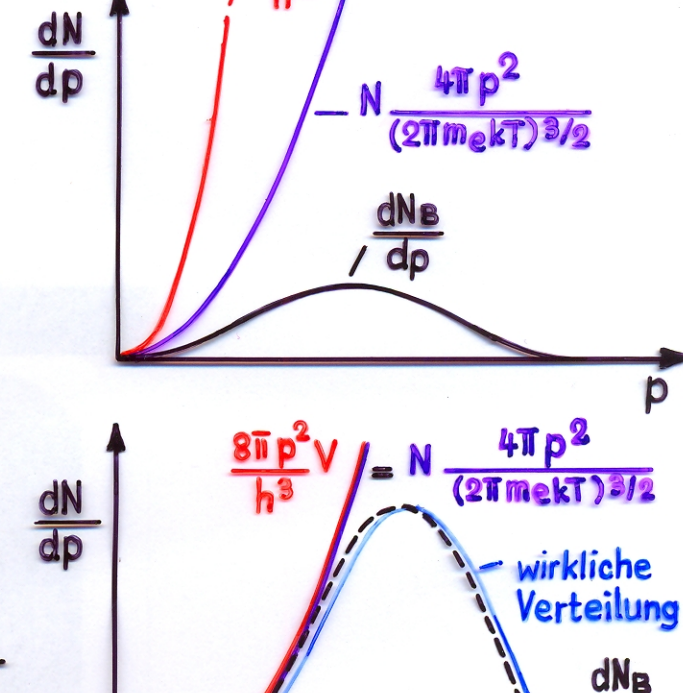
a)
$$N \frac{4\pi p^2}{(2\pi m_e kT)^{3/2}} \ll V \frac{8\pi p^2}{h^3}$$



> Elektronengas : ideales Gas mit Maxwell-Boltzmann-Verteilung

b)
$$N \frac{4\pi p^2}{(2\pi m_e kT)^3/2} = V \frac{8\pi p^2}{h^3}$$





ne «ne : ideales Gas

Elektronengas

ne > ne : entartetes

47 p2

(21m kT)3/2

$$\frac{N}{V} = n_e = \frac{2(2\pi m_e k)^{3/2}}{h^3} T^{3/2} = n_e^*$$

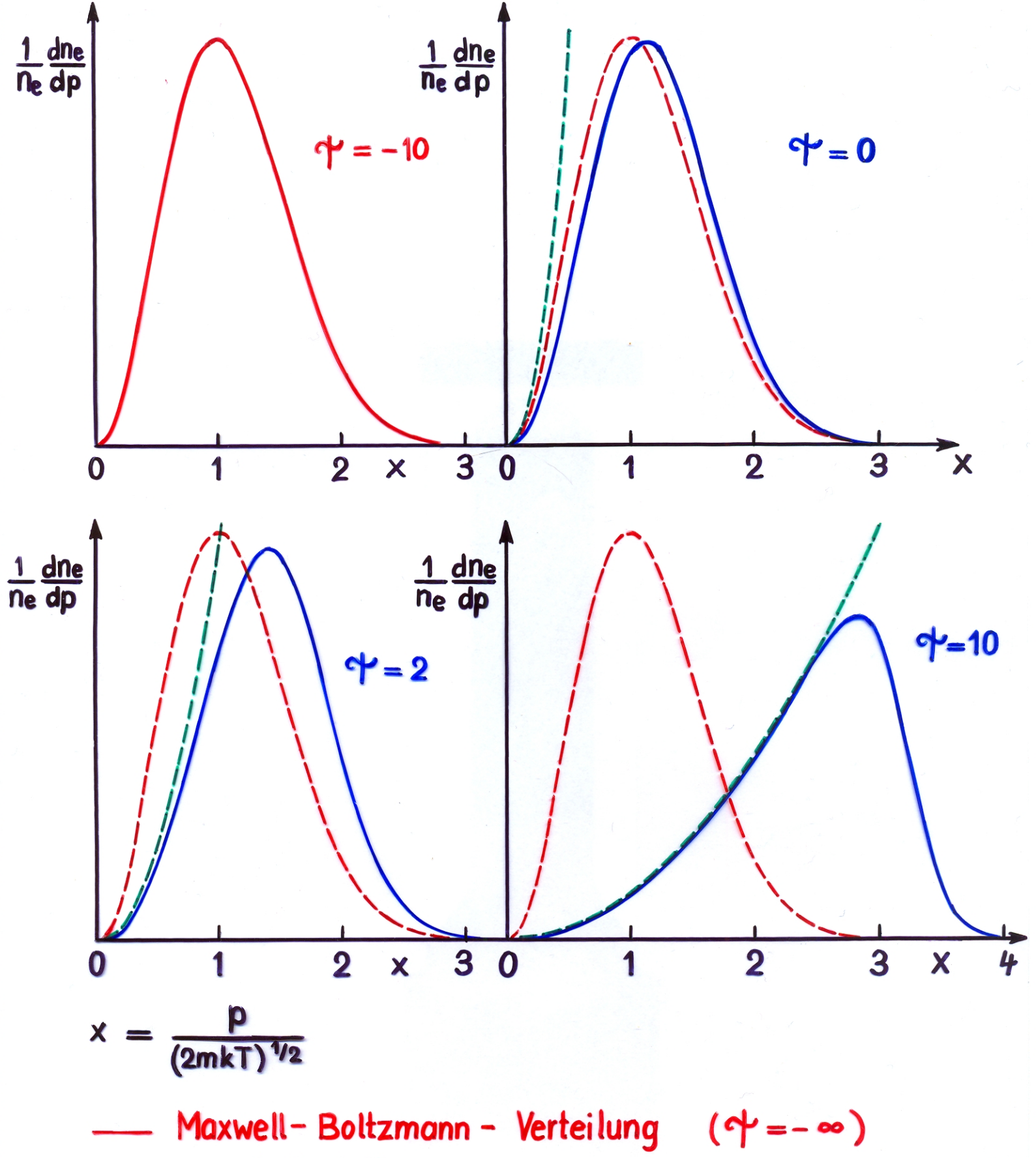
$$n_e^* = 4.83 \cdot 10^{15} \text{ cm}^3 \text{ K}^{-3/2} \text{ T}^{-3/2}$$

c) N
$$\frac{4\pi p^2}{(2\pi mekT)^{3/2}} > V \frac{8\pi p^2}{h^3}$$

- ► Elektronengas ist stark entartet
 - Elektronen werden zu höheren Impulsen gezwungen als der Boltzmann-Verteilung entspricht



Die wirkliche Impulsverteilung ist durch die Fermi-Verteilung gegeben



— Fermi – Verteilung

— 1 v 811 p² = maximale Zahl von Phasenraumzuständen = 2 mal max. Zahl von Phasenraumzellen

$$\frac{dN_F}{dp} = V \frac{8\pi p^2}{h^3} \frac{1}{1 + e^{-r^2 + \epsilon/kT}}$$

Dabei ist

 $V = \frac{8\pi p^2}{h^3}$: maximale Zahl der Phasenraumzellen vom Volumen h^3 im Intervall p,..., p+dp

 $[1+e^{-p^2+\epsilon/kT}]^{-1}$: Auffüllfaktor = Wahrscheinlichkeit, dass eine Phasenraumzelle bei der Energie besetzt ist

: Entartungsparameter (chemisches Potential)

14.2 Der Grenzfall schwacher Entartung

Schwache Entartung: Fermi-Verteilung - Boltzmann-Verteilung

$$\lim_{h \to -\infty} \left\{ V \frac{8 \overline{\mathbb{I}} p^2}{h^3} \frac{1}{1 + e^{-\phi + \epsilon / kT}} \right\} = V \frac{8 \overline{\mathbb{I}} p^2}{h^3} e^{+} e^{-\frac{p^2}{2mekT}}$$

Vergl. mit Boltzmann-Verteilung ergibt : $e^{-\frac{N}{V}} = \frac{N}{V} \frac{h^3}{2(2\pi m_e kT)^{3/2}}$

mit $n_e = \frac{N}{V}$ und $n_e \mu_e m_p = 9$ folgt: $e^{\uparrow \downarrow} = \frac{h^3}{2\mu_e m_p (2\pi m_e k)^{3/2}} 9^{-3/2}$

$$\Rightarrow n_e^* = \frac{2(2iim_ekT)^{3/2}}{h^3} \stackrel{\triangle}{=} \uparrow = 0 \qquad \Rightarrow \qquad \uparrow = \ln\left(\frac{n_e}{n_e^*}\right) , \uparrow < 0$$

Folgerungen:

a) Bedingungen für += const.

Aus
$$e^{-\frac{h^3}{2\mu_e m_p (2\overline{w}m_e kT)^{3/2}}}$$
 folgt $e^{-\frac{h^3}{2\mu_e m_p (2\overline{w}m_e kT)^{3/2}}}$ folgt $e^{-\frac{h^3}{2\mu_e m_p (2\overline{w}m_e kT)^{3/2}}}$ gilt auch für $e^{-\frac{h^3}{2\mu_e m_p (2\overline{w}m_e kT)^{3/2}}}$

Bedingung für += const. bei beliebigem +:

$$dN = V \frac{8\pi p^2}{h^3} \left\{ 1 + e^{-cV + \epsilon/kT} \right\}^{-1} dp \implies dn_e = \frac{dN}{V} = \frac{8\pi p^2}{h^3} \left\{ 1 + e^{-cV + \epsilon/kT} \right\}^{-1} dp$$

$$n_e = \frac{811}{h^3} \int_{0}^{\infty} \frac{p^2 dp}{1 + e^{-q^2 + p^2/2m_e kT}} = \frac{811}{h^3} (2m_e kT)^{3/2} \frac{1}{2} \int_{0}^{\infty} \frac{x^{1/2}}{1 + \bar{e}^{-q^2 + x}} dx$$

$$n_{e} = \frac{4\pi (2m_{e}kT)^{3/2}}{h^{3}} F_{1/2}(+) , \text{ mit } F_{n}(+) = \int_{0}^{\infty} \frac{x^{n} dx}{1 + e^{-+x}}$$

Fn (か): Fermi-Integral

Mit $g = n_e \mu_e m_p$ folgt

$$g T^{-3/2} = \frac{4\pi \mu_{emp} (2mek)^{3/2}}{h^3} F_{1/2} \rightarrow g T^{-3/2} = const. \Leftrightarrow \uparrow = const.$$

- b) Erhöhung von %: Erhöhung der Entartung, wenn 31 oder TV
 Wichtig für astrophysikalische Anwendungen: 34 > 0 für beliebige T!
- c) Entartung des Ionengases: (Protonengas, Neutronengas bei Neutronenstern)

 Für Protonengas: $m_e \rightarrow m_p$, $\mu_e \rightarrow \mu_o$ \uparrow_e : Entartungsparameter der Elektronen \uparrow_e : \uparrow_e :
 - ouch bei hochgradiger Entartung des Elektronengases ist das <u>Ionengas</u> noch nicht entartet und praktisch ein <u>ideales Gas</u>

Ionengas = ideales Gas : praktisch immer verwendete Arbeitshypothese

d) Beispiel: Die Sonne : e = 10^{7.6} gT (cgs) für schwache Entartung

Sonnenzentrum: $g_c \approx 10^2 \text{gcm}^3$, $T_c \approx 10^7 \text{K}$, $\Rightarrow e^{+} \approx 10^{-0.9} \Leftrightarrow \Rightarrow -2$ nur schwache Entartung des Elektronengases Druck = Impulsfluss pro Flächen - und Zeiteinheit

$$P_{e} = \frac{1}{3} \int_{0}^{\infty} \vec{p} \, \vec{v} \, \frac{dN}{V} = \frac{1}{3} \int_{0}^{\infty} \vec{p} \, \vec{v} \, \frac{dn_{e}}{dp} \, dp \qquad \text{mit} \quad \frac{dn_{e}}{dp} = \frac{8 \vec{n} \, p^{2}}{h^{3}} \left\{ 1 + e^{-\frac{q^{4} + p^{2}/2m_{e}kT}{2m_{e}kT}} \right\}^{-1}$$

 $\underline{\text{nicht}-\text{relativistisch}} \quad (\vee \ll c) : \quad \vec{v} = \frac{\vec{p}}{m_e}$

$$P_{e} = \frac{8\pi}{3h^{3}m_{e}} \int_{0}^{\infty} \frac{p^{4}}{1 + \bar{e}^{-4} + p^{2}/2m_{e}kT} dp = \frac{4\pi}{3h^{3}m_{e}} (2m_{e}kT)^{5/2} \int_{0}^{\infty} \frac{x^{3/2}}{1 + \bar{e}^{-4} + x} dx$$

$$P_{e} = \frac{8i kT}{3h^{3}} (2m_{e}kT)^{3/2} F_{3/2}(4)$$
 Elektronendruck bei nicht-
relativistischer Entartung

Do
$$n_e = \frac{4ii}{h^3} (2m_e kT)^{3/2} F_{1/2}(4)$$
 folgt:

$$P_e = n_e kT \left(\frac{2}{3} \frac{F_{3/2}(\uparrow)}{F_{y_2}(\uparrow)} \right)$$

Durch Reihenentwicklung von F1/2 (4) und F3/2 (4) für ot o folgt

$$P_e = n_e kT \left\{ 1 + \frac{n_e h^3}{2^{7/2} (2 T m_e kT)^{3/2}} + \dots \right\}, \gamma < 0$$

14.4 Vollständige Entartung

Vollständige Entartung ⇔ += + ∞ (für praktische Zwecke: +>> 1)

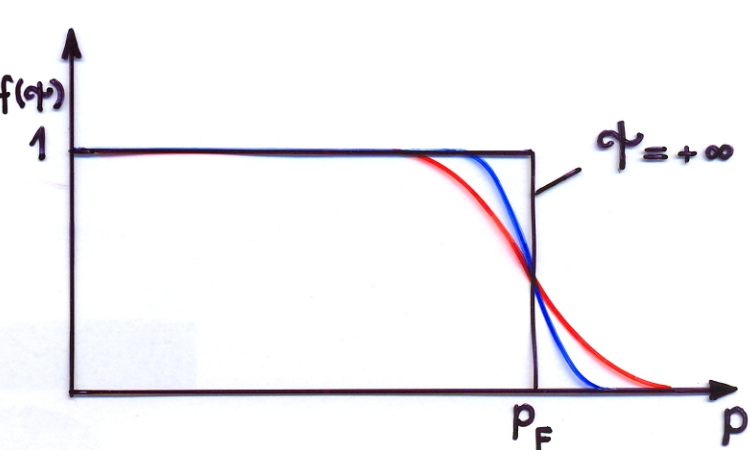
Diskussion des Auffüllfaktors
$$f(\varphi) = \{1 + e^{+(\xi/\xi_F - 1)}\}^{-1}$$

Da nach Vor. $ext{$+>1$}$, ist $\begin{cases} ext{$+($\ext{$\epsilon_F$}-1)$ stark negativ für $$\epsilon$<$$\ext{ϵ_F}$} \\ ext{$+($\ext{$\epsilon_F$}-1)$ stark positiv für $$\epsilon$>$$\epsilon_F$} \end{cases}$

Da
$$f(r) = \{1 + e^{(p^2 - p_F^2)/2m_e kT}\}^{-1}$$

 \rightarrow Abfall von f(+) bei $\varepsilon = \varepsilon_F$ von 1 nach 0 über charakteristische Breite

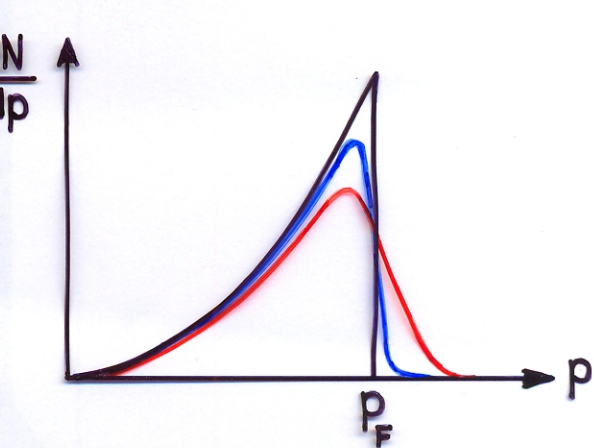
$$\Delta \epsilon \approx kT$$



Zahl der Quantenzustände bzw. der Elektronen im Impulsintervall p,..., p+dp

$$\frac{dN}{dp} = V \frac{8\pi p^2}{h^3} \frac{1}{1 + e^{(p^2 - p^2)/2mekT}} = \frac{Zahl \ der \ vorhandenen \ Zustände}{mal \ Besetzungswahrscheinlichkeit}$$

$$\frac{dN}{dp} = \begin{cases} \sqrt{\frac{8\pi p^2}{h^3}}, & p < p_p \\ 0, & p > p_p \end{cases}$$



→ Zahl der Elektronen als Funktion von p:

$$N = \int_0^\infty \frac{dN}{dp} dp = V \frac{811}{h^3} \int_0^{p_F} p^2 dp = V \frac{811}{3h^3} p_F^3$$

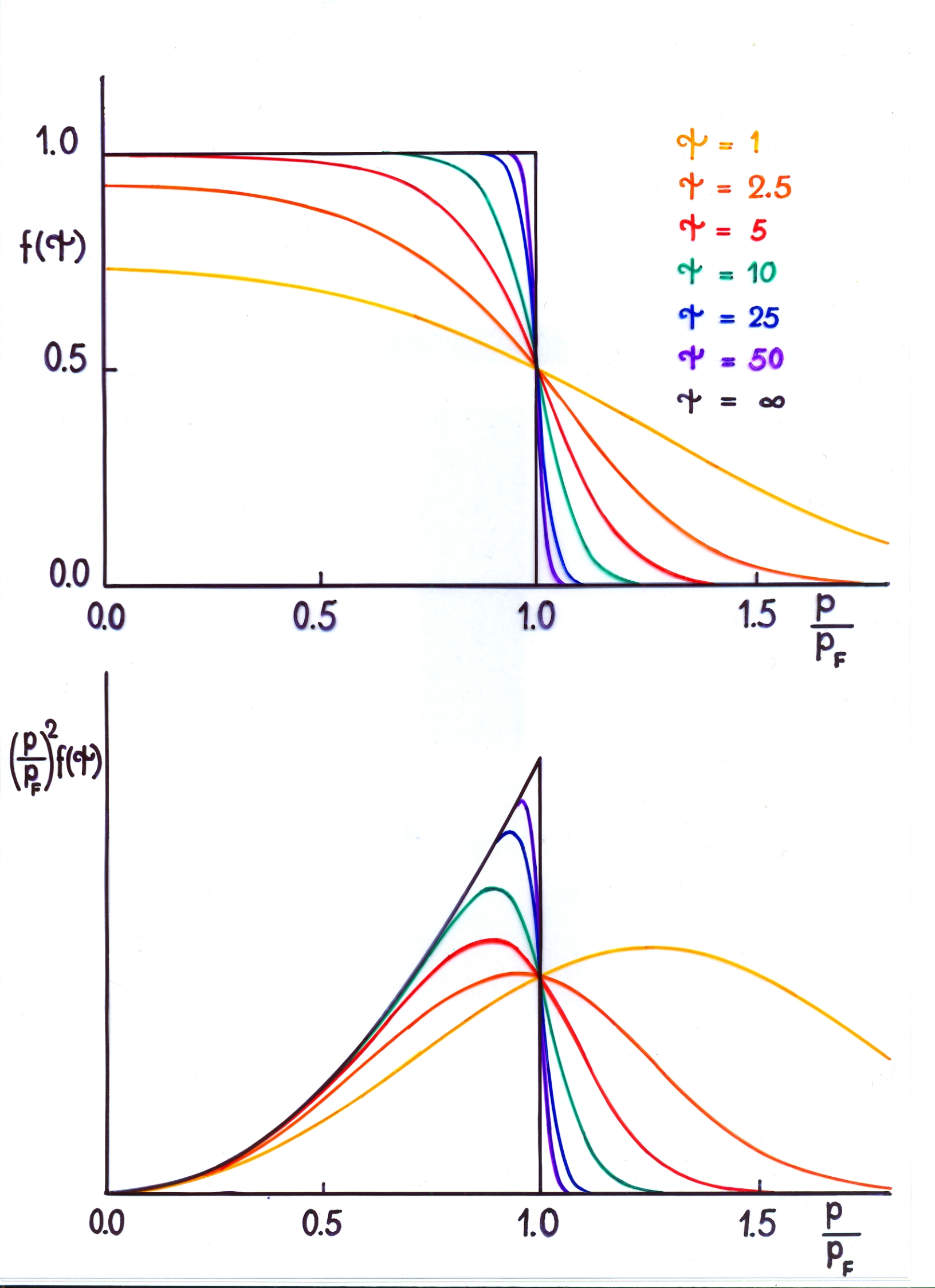
Mit
$$g = \frac{N}{V} \mu_e m_p$$
 folgt:

$$S = \frac{81}{3h^3} \mu_e m_p p_F^3 \qquad oder$$

$$p = \left(\frac{3h^3}{3h^3}\right)$$

$$p_{F} = \left(\frac{3h^{3}}{8\pi m_{p}}\right)^{1/3} \left(\frac{\rho}{\mu e}\right)^{1/3}$$

Mit zunehmender Dichte g erhöht sich auch p. . - Allein durch hinreichend grosses 3 können die Elektronen relativistisch werden (wenn pzmec)



14.5 Druck des Elektronengases bei vollständiger nicht-relat. Entartung

Für beliebige of gilt:
$$P_e = \frac{1}{3} \int_{0}^{\infty} \vec{p} \cdot \vec{v} \frac{dN}{V} = \frac{1}{3} \int_{0}^{\infty} \vec{p} \cdot \vec{v} \frac{dne}{dp} dp$$

Mit
$$\phi = +\infty$$
, $p \ll m_e C$: $\overline{V} = \frac{\overline{p}}{m_e}$, $\frac{dn_e}{dp} = \frac{8\overline{11}p^2}{h^3}$, $p < p$

$$P_{e} = \frac{8\pi}{3m_{e}h^{3}} \int_{0}^{p_{F}} \rho^{4} d\rho = \frac{8\pi}{45m_{e}h^{3}} p_{F}^{5} ; \text{ verwenden } p_{F} = \left(\frac{3h^{3}}{8\pi m_{p}}\right)^{1/3} \left(\frac{9}{\mu_{e}}\right)^{1/3}$$

Pe =
$$\frac{h^2}{5m_e m_p} \left(\frac{3}{8\pi m_p}\right)^{2/3} \left(\frac{9}{\mu e}\right)^{5/3}$$
: Druck eines vollständig, nicht-relativistisch entarteten

relativistisch entarteten Elektronengases

Alle Konstanten eingesetzt ergibt

$$P_e = 10^{13.0} \text{ dyn cm}^2 \left(\frac{9(g)}{\mu e}\right)^{5/3}$$

Verhältnis von Elektronendruck zu Ionendruck (Abschätzung)

$$P_{e} = n_{e}kT \left\{ \frac{2}{3} \frac{F_{3/2}(\Phi)}{F_{1/2}(\Phi)} \right\} = \frac{9}{\mu_{e}m_{P}} kT \left\{ \frac{2}{3} \frac{F_{3/2}(\Phi)}{F_{1/2}(\Phi)} \right\}$$

$$P_{i} = n_{i}kT = \frac{9}{\mu_{o}m_{P}} kT$$

$$\frac{P_{e}}{F_{i}} = \frac{2}{3} \frac{\mu_{o}}{\mu_{e}} \frac{F_{3/2}(\Phi)}{F_{1/2}(\Phi)}$$

$$\lim_{n \to \infty} F_n(n) = \lim_{n \to \infty} \int_0^\infty x^n [1 + e^{-n+x}]^{-1} dx \approx \int_0^\infty x^n dx = \frac{1}{n+1}$$

$$\frac{P_e}{P_i} = \frac{2}{5} \frac{\mu_o}{\mu_e} + \text{für } + \text{wenn } + \text{wenn$$

$$P_{\text{tot}} = P_{\text{e}} = \frac{h^2}{5m_{\text{e}}m_{\text{p}}} \left(\frac{3}{8\pi m_{\text{p}}}\right)^{2/3} \left(\frac{9}{\mu_{\text{e}}}\right)^{5/3}$$

Zustandsgleichung unabhängig von T!

14.6 Druck eines relativistisch entarteten Elektronengases

Wenn
$$p_F \gtrsim m_e c$$
: $\vec{v} = \frac{\vec{p}}{m} = \frac{\vec{p}}{m_e} \left(1 - \frac{v^2}{c^2}\right)^{1/2} = \frac{\vec{p}}{m_e} \left(\frac{m_e^2 c^2}{m_e^2 c^2 + p^2}\right)^{1/2}$

$$P_{e} = \frac{1}{3} \int_{0}^{P_{F}} \vec{p} \vec{v} \frac{dN}{dp} \frac{dp}{V} = \frac{811}{3m_{e}h^{3}} \int_{0}^{P_{F}} \frac{p^{4}}{(1+p^{2}/m_{e}^{2}c^{2})^{1/2}} dp$$

Setzen
$$\gamma = \frac{p}{m_e c}$$
 und $\xi = \frac{p_F}{m_e c}$

$$P_{e} = \frac{8\pi}{3m_{e}h^{3}} (m_{e}c)^{5} \int_{0}^{\frac{\pi}{2}} \frac{1^{4}d\eta}{\sqrt{1+\eta^{2}}} = \frac{\pi}{3m_{e}h^{3}} (m_{e}c)^{5} f(\xi)$$

mit
$$f(\xi) = 8 \int_{0}^{\xi} \frac{\eta^{4} d\eta}{\sqrt{1 + \eta^{2}}} = \xi(2\xi^{2} - 3)(1 + \xi^{2})^{1/2} + 3 \operatorname{arsh} \xi$$

Asymptotisches Verhalten:

a) Extrem relativistische Entartung: 🗲 🖚 \infty

$$\lim_{\xi \to \infty} f(\xi) = 2\xi^{4} - 2\xi^{2} + \cdots \approx 2\xi^{4}$$

$$\lim_{\substack{p > m_{e}c}} P_{e} = \frac{2\pi c}{3h^{3}} \left(\frac{3h^{3}}{8\pi m_{p}} \right)^{4/3} \left(\frac{\rho}{\mu e} \right)^{4/3} = \frac{c}{4m_{p}} \left(\frac{3h^{3}}{8\pi m_{p}} \right)^{1/3} \left(\frac{\rho}{\mu e} \right)^{4/3}$$

Do auch hier Pe >> Pi ist, ist

Ptot = Pe =
$$\frac{c}{4m_p} \left(\frac{3h^3}{8\pi m_p}\right)^{1/3} \left(\frac{9}{\mu e}\right)^{4/3}$$
 bei extrem relativistischer Entartung

N.B. Zustandsgleichung unabhängig von T P steigt nur noch mit 94/3 b) Nicht-relativistische Entartung: E - 0

$$\lim_{\xi \to 0} f(\xi) = \frac{8}{5} \xi^5 - \frac{4}{7} \xi^7 + \cdots \approx \frac{8}{5} \xi^5$$

$$\Rightarrow \lim_{P_{e} \ll m_{e} c} P_{e} = \frac{\pi m_{e}^{4} c^{5}}{3h^{3}} \frac{8}{5} \left(\frac{P_{F}}{m_{e} c}\right)^{5} = \frac{8\pi}{15 \, \text{meh}^{3}} \, P_{F}^{5}$$

: gleiches Ergebnis wie bei 14.5

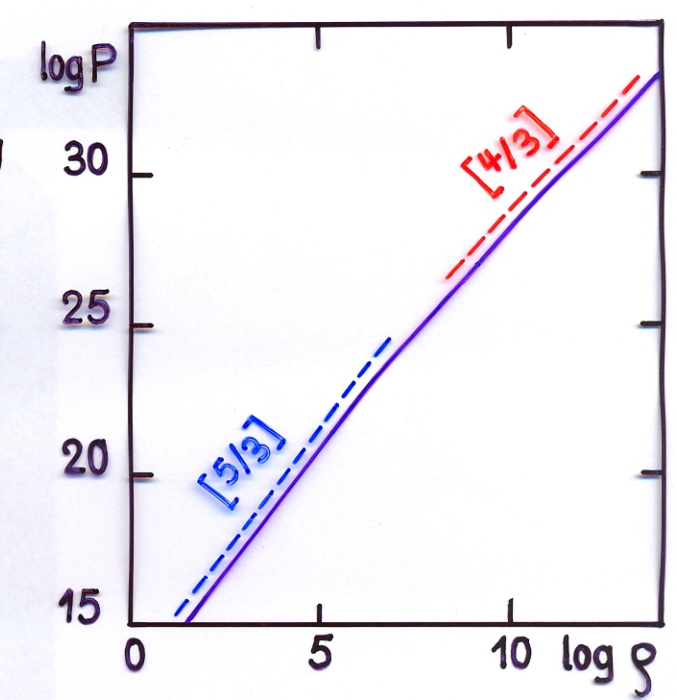
14.7 Zusammenfassung

Zustandsgleichung für das vollständig entartete Elektronengas

$$P = \frac{h^2}{5m_e m_p} \left(\frac{3}{8irm_p}\right)^{2/3} \left(\frac{9}{\mu e}\right)^{5/3}, p \ll m_e c$$

$$P = \frac{c}{4m_p} \left(\frac{3h^3}{8\pi m_p}\right)^{1/3} \left(\frac{g}{\mu_e}\right)^{4/3}, p_p \gg m_e c$$

Zustandsgleichung unabhängig von T



Das log g - logT - Diagramm

- 1,7,8: ideales Gas,
 Strahlung dominiert
 in 8
- 3, 4, 5 : <u>Entartung</u>,
 - -nicht-relativistisch in 3
 - -part. relativistisch in 4
 - extrem relativist. in 5
- 2, 6, 9 : partielle Entartung
 - -nicht relativistisch in 2
 - -extrem relativistisch in 6
 - partiell relativistisch in 9

